

SINTEZA LINEARNIH SLIJEDNIH SUSTAVA PRIMJENOM PRAKTIČNIH OPTIMUMA

- ◆ Razrađuju se postupci sinteze temeljeni na dva praktična optimumima:
 - optimum dvostrukog odnosa,
 - modulni optimum.
- ◆ U postupku sinteze potrebno je odrediti strukturu i parametre:
 - regulatora,
 - pretkompenzatora (engl. *feedforward controller*).

Optimum dvostrukog odnosa

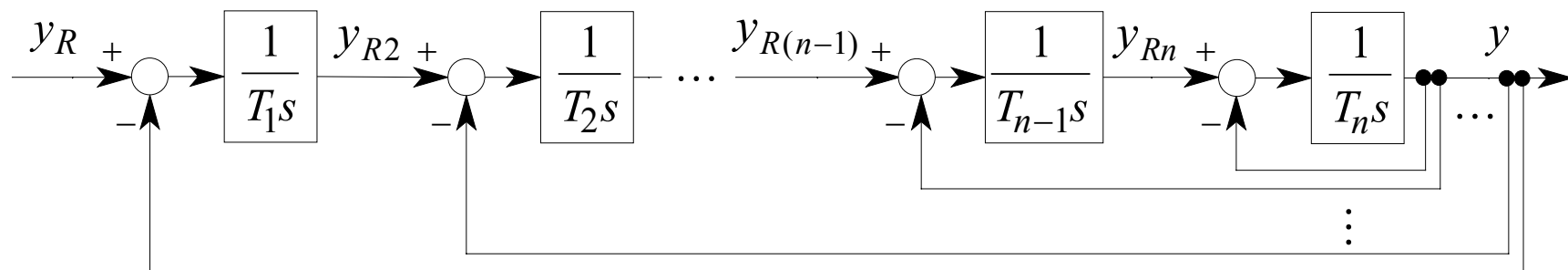
- njem. *Optimum der Doppelverhältnisse, Dämpfungsoptimum*,
- engl. *Double Ratios Optimum, Damping Optimum*,
- Cilj: pronalaženje analitičke veze između koeficijenata karakterističnog polinoma linearnog regulacijskog sustava proizvoljnog reda, takve da sustav ima optimalno prigušenje koje odgovara prigušenju $\zeta = \sqrt{2} / 2$ oscilacijskog člana 2. reda.

Izvod optimuma dvostrukog odnosa

- ◆ Razmatra se linearni, vremenski nepromjenljivi, zatvoreni regulacijski SISO sustav, stacionarno točan, bez mrtvog vremena i bez nula prijenosne funkcije.
- ◆ Opći oblik prijenosne funkcije takvog sustava je:

$$G(s) = \frac{y(s)}{y_R(s)} = \frac{1}{A(s)} = \frac{1}{a_n s^n + a_{n-1} s^{n-1} + \dots + a_1 s + 1} \quad (3-1)$$

- ◆ Struktura danog sustava može se predložiti blokovskim dijagramom s n kaskadno spregnutih integralnih članova.



Sl. 3.1.

- ◆ Koeficijenti prijenosne funkcije i vremenske konstante T_1, \dots, T_n na međusobno su povezani općim izrazom:

$$a_i = \prod_{j=1}^i T_j = T_1 T_2 \cdots T_i ; \quad i = 1, \dots, n \quad (3-2)$$

- ◆ Odnosom vremenskih konstanti susjednih integralnih članova definirani su bezdimenzionalni **karakteristični odnosi**

$$D_i = \frac{T_i}{T_{i-1}} = \frac{a_i a_{i-2}}{a_{i-1}^2} , \quad i = 2, \dots, n \quad (3-3)$$

- ◆ Najpodređeniji krug kaskadne strukture sustava s prijenosnom funkcijom

$$G_n(s) = \frac{y(s)}{y_{Rn}(s)} = \frac{1}{T_n s + 1} \quad (3-4)$$

ima značenje sistemskog PT₁ člana sa **sistemskom vremenskom konstantom** T_n . Sistemskim se članom približno opisuje vladanje tzv. parazitnih članova procesa, čija se stanja ne reguliraju.

- ◆ Prijenosne funkcije otvorenog i zatvorenog kruga i -te kaskade poprimaju redom oblike:

$$G_{oi}(s) \approx \frac{1}{T_i s (T_{i+1} s + 1)}, \quad i = 1, \dots, n-1 \quad (3-5)$$

$$G_{ci}(s) = \frac{y(s)}{y_{Ri}(s)} = \frac{G_{oi}(s)}{1 + G_{oi}(s)} \approx \frac{1}{T_{i+1} T_i s^2 + T_i s + 1} \quad (3-6)$$

Preuređenjem (3-6), uzimajući u obzir (3-3)

$$G_{ci}(s) = \frac{1}{D_{i+1} T_i^2 s^2 + T_i s + 1} = \frac{1}{T_{oi}^2 s^2 + 2\zeta_{i+1} T_{oi} s + 1} \quad (3-7)$$

odakle slijedi:

$$D_i = \frac{1}{4\zeta_i^2} \quad (3-8)$$

- ◆ Optimalno prigušenje sustava određeno je izborom:

$$\zeta_i = \sqrt{2} / 2 \Rightarrow D_i = 0,5 \Leftrightarrow D_i = \frac{1}{4\zeta_i^2} \quad (3-9)$$

koji daje kvaziaperiodski oblik prijelazne funkcije oscilacijskog člana.

- ♦ Karakteristični polinom $A(s)$ sustava (3-1), primjenom (3-2) i (3-3) može se zapisati u obliku:

$$\begin{aligned} A(s) &= T_n T_{n-1} \cdots T_1 s^n + T_{n-1} T_{n-2} \cdots T_1 s^{n-1} + \dots + T_2 T_1 s^2 + T_1 s + 1 = \\ &= D_n D_{n-1}^2 \cdots D_2^{n-1} T_e^n s^n + D_{n-1} D_{n-2}^2 \cdots D_2^{n-2} T_e^{n-1} s^{n-1} + \dots + D_2 T_e^2 s^2 + T_e s + 1 \end{aligned} \quad (3-10)$$

pri čemu $T_e = T_1$ označava **nadomjesnu vremensku konstantu** ukupnog zatvorenog sustava nadomještenog prijenosnom funkcijom

$$G_e(s) = G_1(s) \doteq \frac{1}{T_e s + 1} \quad (3-11)$$

- ♦ Optimalan iznos karakterističnih odnosa iznosi:

$$D_2 = D_3 = \dots = D_n = 0,5 \quad (3-12)$$

- ♦ Veza nadomjesnih vremenskih konstanti pojedinih krugova kaskadne strukture sustava u općem i optimalnom obliku proizlazi iz sljedećih izraza (3-3) i (3-12):

$$T_e = T_1 = \frac{1}{D_2} T_2 = \frac{1}{D_3 D_2} T_3 = \dots = \frac{1}{D_i D_{i-1} \dots D_2} T_i = \dots = \frac{1}{D_n D_{n-1} \dots D_2} T_n \quad (3-13)$$

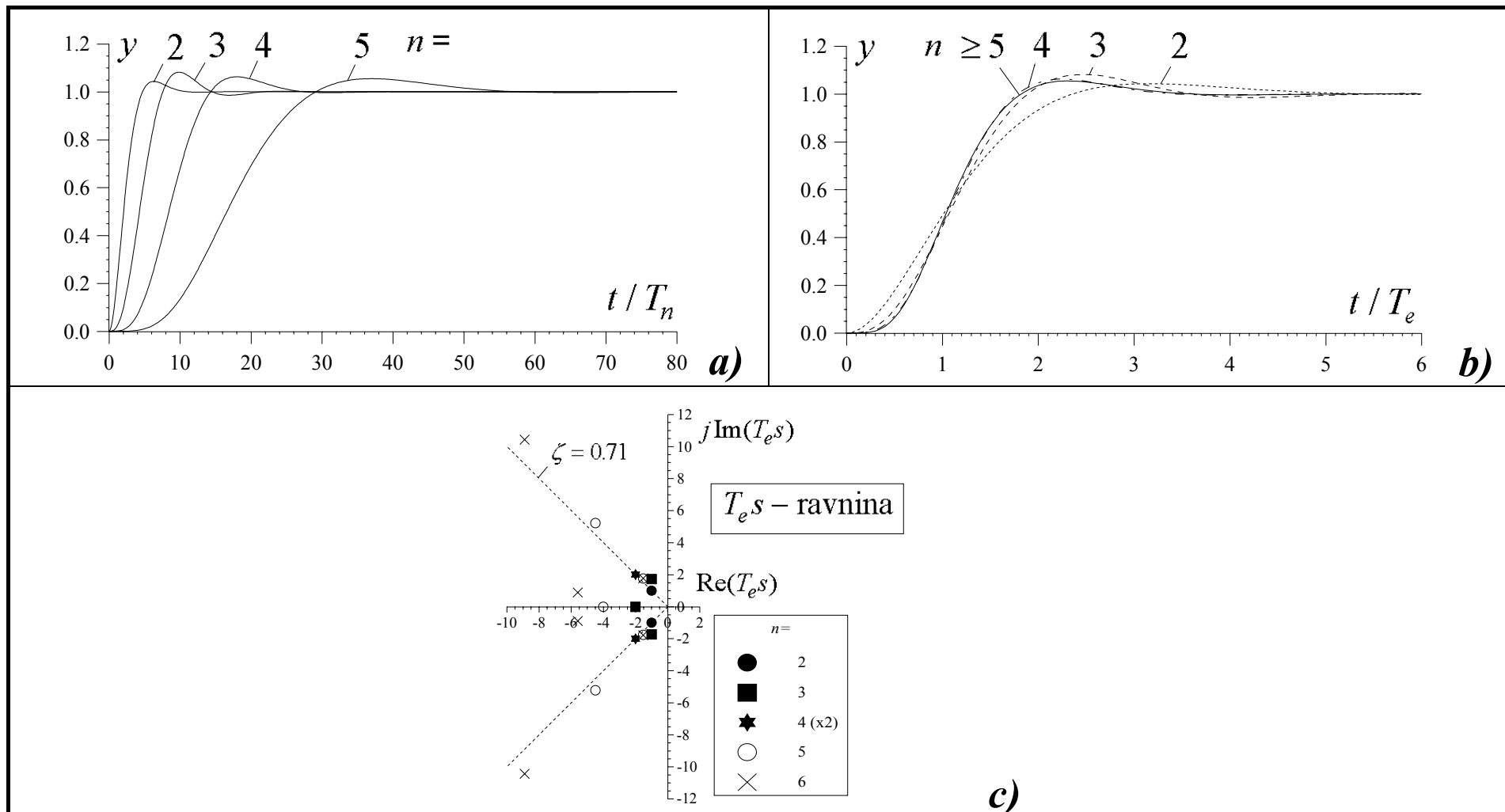
$$T_e = T_1 = 2T_2 = 4T_3 = \dots = 2^{i-1} T_i = \dots = 2^{n-1} T_n \quad (3-14)$$

- ◆ Dakle, svaki krug kaskadne strukture sustava ima dvostruko veće vrijeme odziva od njemu podređenog kruga.

Analiza optimiranog sustava

a) Analiza uz optimalan iznos svih karakterističnih odnosa

- ◆ Rezultati analize sustava (3-1), različitog reda n , s karakterističnim polinomom $A(s)$ (3-10) dani su na slici 3.2. Sve prijelazne funkcije, bez obzira na red sustava, imaju sličan kvaziaperiodski oblik. Takav oblik predstavlja rezultat optimalnog izbora između veće brzine odziva i manje oscilatornosti.

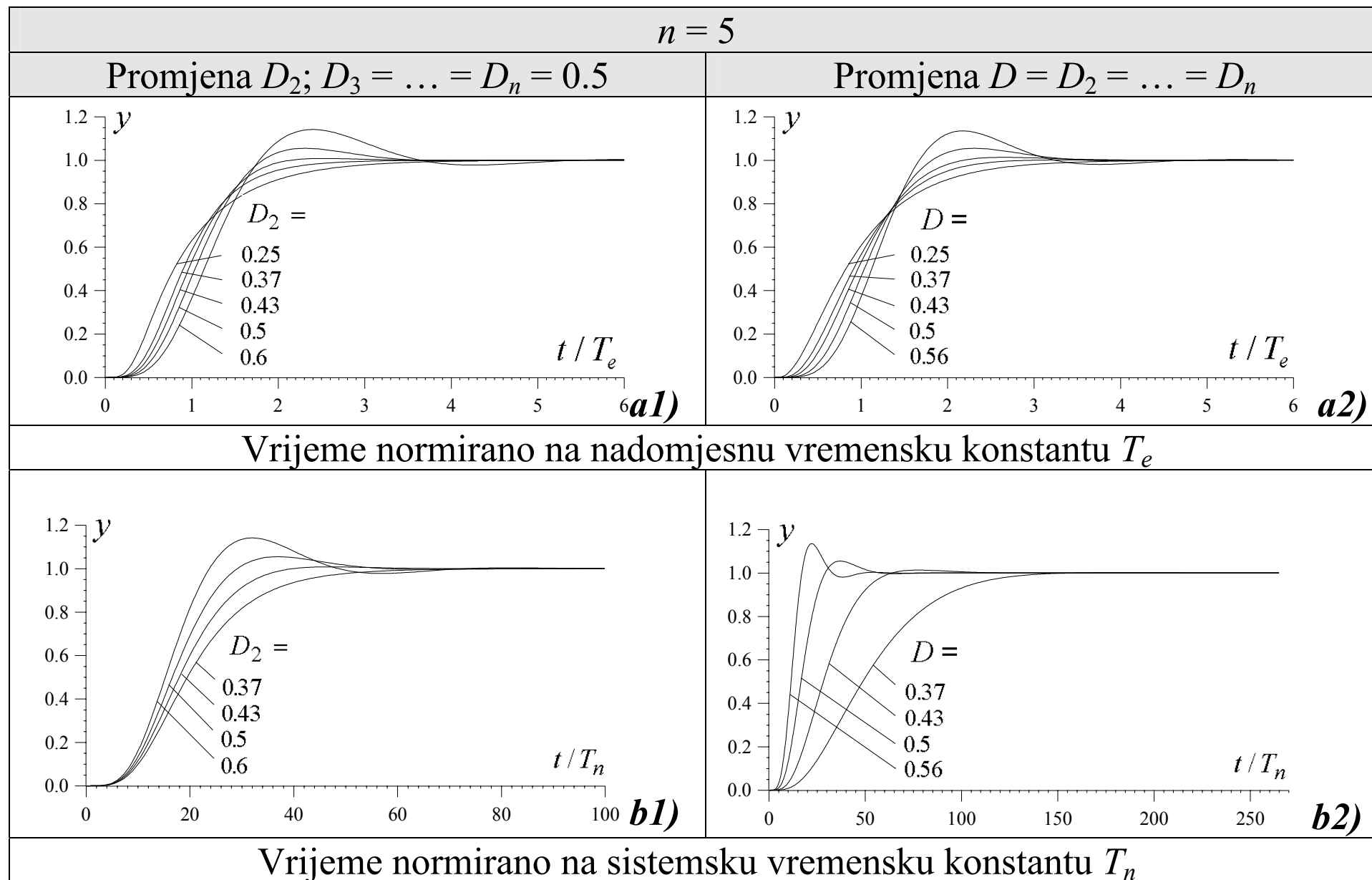


*Sl. 3.2. Prijelazne funkcije u vremenu normiranom na sistemsku (T_n) **a)**, odnosno nadomjesnu (T_e) **b)** vremensku konstantu, te položaj polova u normiranoj $T_e s$ ravnini **c)**.*

- Regulacijsko nadvišenje $\sigma_m < 8\%$, vrijeme porasta $t_1 < 2,4T_e$.
- Sporiji odziv sustava višeg reda. Svako povećanje reda sustava za 1, uz jednaku sistemsku vremensku konstantu T_n , udvostručuje vrijeme odziva.
- Dobro prigušenje optimiranog sustava (očituje se i kroz raspored polova).

b) Podešavanje prigušenja

- ◆ Ponekad je potrebno odstupiti od optimalnog prigušenja sustava određenog optimalnim izborom karakterističnih odnosa.
- Npr. kod pozicioniranja uobičajeno se ne dopušta nadvišenje (potrebno je ostvariti što brži odziv bez nadvišenja).
- U nekim se primjenama tolerira povećano nadvišenje i oscilatornost s ciljem postizanja bržeg odziva i kvalitetnijeg otklanjanja utjecaja poremećaja
- ◆ Mogući način podešavanja prigušenja:
 - promjenom samo dominantnog karakterističnog odnosa D_2 .
 - postavljanjem svih karakterističnih odnosa na jednak iznos D različit od 0,5.



Sl. 3.3.

- Smanjenjem $D_2 < 0,5$ povećava se prigušenje prijelazne funkcije, tj. smanjuje se njena oscilatornost i nadvišenje.
- **Granični aperiodski oblik** prijelazne funkcije dobije se uz $D_2 = 0,37$ (Sl. 3.3. a1 i a2).
- Odzivi, dani na slikama b1 i b2) pokazuju da je besmisleno mijenjati iznos $D < 0,5$ svih karakterističnih odnosa, jer se tako značajno usporava odziv.
- Povećanjem $D_2 > 0,5$ smanjuje se prigušenje prijelazne funkcije, tj. povećava njena oscilatornost i nadvišenje. Približno jednako nadvišenje za oba načina podešavanja prigušenja postiže se uz različite iznose karakterističnih odnosa D i D_2 ($D < D_2$).
- Nasuprot prethodnom slučaju $D_2 = D < 0,5$, povoljniji (brži) odziv u vremenu normiranom na sistemsku vremensku konstantu T_n dobije se ukoliko se prigušenje podešava promjenom iznosa D svih karakterističnih odnosa.

c) Utjecaj nedominantnih karakterističnih odnosa

- U primjenama se često koristi **regulator reduciranog reda** kojim nije moguće nezavisno postaviti svih $n-1$ karakterističnih odnosa na optimalan iznos $D = 0,5$.

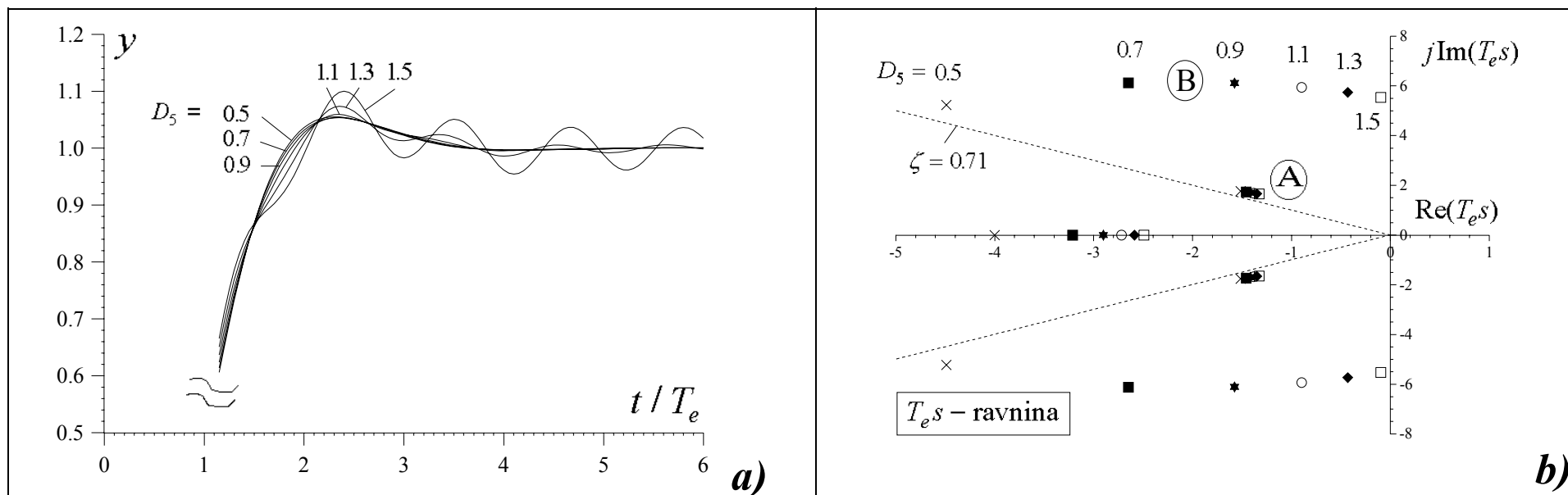
- Približno optimalno vladanje sustava može se postići tako da se optimiraju nadređeni krugovi kaskadne strukture sustava, koji dominantno određuju vladanje sustava.
- Po dominantnosti viši karakteristični odnosi D_2, \dots, D_{l+1} postavljaju se na iznos 0,5.
- Utjecaj podoptimalnog iznosa preostalih, po dominantnosti nižih karakterističnih odnosa D_{l+2}, \dots, D_n na kvalitetu vladanja sustava dan je na primjeru.

Primjer

- ◆ Analizira se utjecaj nedominantnih karakterističnih odnosa D_5 i D_4 ($l = 2$) na vladanje sustava 5. reda ($n = 5$) optimiranog za $D_2 = D_3 = 0,5$. Vrijeme odziva sustava određeno je iznosom nadomjesne vremenske konstante T_e koja se računa prema izrazu:

$$T_e = 2^l \frac{T_n}{D_n D_{n-1} \cdots D_{l+2}} = \frac{4T_n}{D_5 D_4} = \frac{4T_n}{\Delta}. \quad (3-15)$$

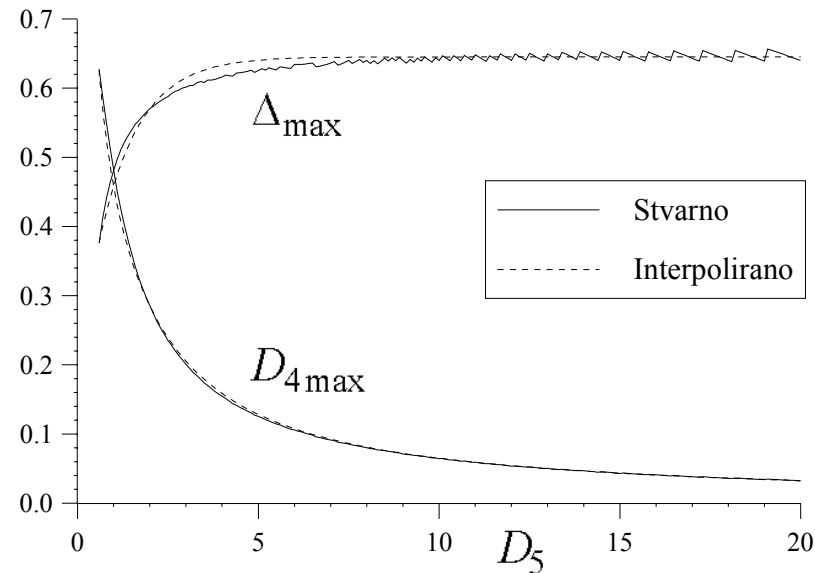
- ◆ Povećanjem iznosa najnižeg karakterističnog odnosa $D_5 > 0,5$, specijalno uz $D_4 = 0,5$, povećava se oscilatornost 4. kruga kaskadne strukture sustava što se odražava i na povećanu oscilatornost nadređenih krugova.
- ◆ Prijelazne funkcije sustava pokazuju (Sl. 3.4.a) da se odziv sustava gotovo ne mijenja ako je zadovoljena nejednakost $D_5 \leq D_{5\max} \approx 0,9$. Ovaj rezultat ima jasnu interpretaciju u položaju polova optimiranog sustava (Sl. 3.4.b).



Utjecaj nedominantnog karakterističnog odnosa $D_5 \geq 0,5$ na kvalitetu vladanja sustava 5. reda optimiranog za $D_2 = D_3 = D_4 = 0,5$: **a)** prijelazne funkcije i **b)** položaj polova.

Sl. 3.4.

- Granična vrijednost $D_{5\max}$ za dobro prigušen (kvaziaperiodski) odziv sustava dostiže se kada slabo prigušeni konjugirano-kompleksni par polova (B) preuzme dominaciju od približno konstantnog, dobro prigušenog para polova (A).
- Sustav zadržava dobro prigušen odziv i u slučaju da odnos D_5 neograničeno raste iznad $D_{5\max}$, ali samo ako istovremeno susjedni odnos D_4 pada (Sl. 3.5.)



Sl. 3.5.

- ◆ Granična ovisnost $D_{4\max}(D_5)$ za dobro prigušen odziv (Sl. 3.5.) dobivena je numerički. Usporedno je prikazana i granična krivulja $\Delta_{\max}(D_5) = D_{4\max}(D_5) \cdot D_5$ koja se uz samo 5%-tno maksimalno odstupanje interpolira eksponencijalnom funkcijom

$$\Delta_{\max}(D_5) = \Delta_0 + (\Delta_1 - \Delta_0) \left(1 - e^{-\frac{D_5 - 0,6}{\delta_5}}\right) \quad (3-16)$$

gdje je:

$$\Delta_0 = 0,376 \quad , \quad \Delta_1 = 0,645 \quad , \quad \delta_5 = 1,1 \quad .$$

- ◆ U slučaju da najniži karakteristični odnos ima iznos $D_5 \leq 0,5$, pokazuje se da maksimalna vrijednost odnosa D_4 za dobro prigušen odziv sustava iznosi $D_{4\max} \approx 0,7$. Konačno se može zaključiti da će sustav 5. reda optimiran za $D_2 = D_3 = 0,5$ imati dobro prigušen (kvaziaperiodski) odziv ako su zadovoljena sljedeća dva uvjeta:

$$\boxed{0 < D_4 \leq D_{4\max} \approx 0,7} \quad (3-17)$$

$$\boxed{\Delta = D_4 D_5 < \Delta_{\max}(D_5)} \quad (3-18)$$

Optimiranje vremenski diskretnih sustava

a) Diskretni postupak sinteze

- Uz primjenu regulatora punog reda, npr. polinomskog regulatora, moguće je nezavisno postaviti položaj svih polova sustava.
- Sinteza se može provesti u diskretnom (z) području, pri čemu se polazi od karakterističnog polinoma sustava:

$$A_d(z) = \prod_{i=1}^n (z - z_i) = \sum_{i=0}^n a_{di} z^i = a_{dn} z^n + a_{dn-1} z^{n-1} + \dots + a_{d1} z + a_{d0}; a_{dn} = 1 \quad (3-19)$$

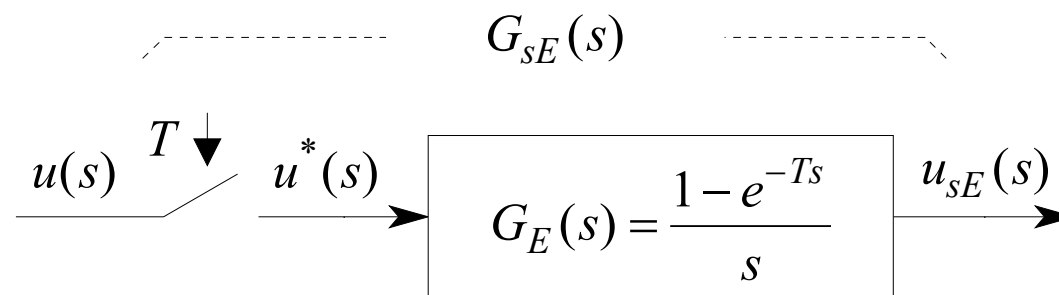
- Korijeni z_i polinoma $A_d(z)$ određuju se iz korijena s_i optimalnog polinoma $A(s)$ (3-10) prema:

$$z_i = e^{Ts_i}, \quad A(s_i) = 0 \rightarrow s_i, \quad \text{za } i = 1, \dots, n \quad (3-20)$$

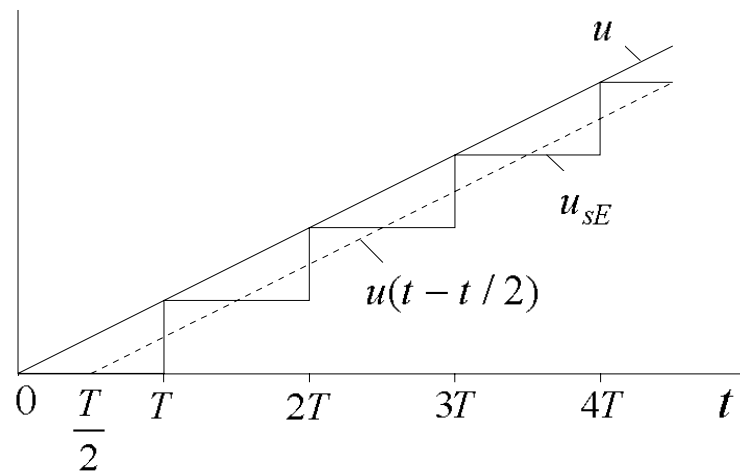
gdje je T vrijeme uzorkovanja.

b) Kvazikontinuirani postupak sinteze

- U slučaju primjene diskretnog regulatora reduciranog reda potrebno je postupak sinteze provesti u kontinuiranom (s) području.
- Prethodno se diskretni sustav nadomješta ekvivalentnim kontinuiranim sustavom.
- Element koji povezuje diskretni s kontinuiranim dijelom sustava je i ekstrapolator nultog reda. Odziv serijskog spoja idealnog impulsnog elementa i ekstrapolatora nultog reda na pobudnu funkciju linearnog porasta dan je na slici 3.6.
- Stepeničasti odziv karakterističan za diskretne sustave aproksimira se pravcem koji za pobudnim signalom kasni za $T / 2$, te se aproksimira PT_1 članom.



Sl. 3.6. a)



$$G_{sE}(s) \approx e^{-sT/2} \approx \frac{1}{1 + sT/2} \quad (3-21)$$

Sl. 3.6. b)

- U nadomjesnom kontinuiranom sustavu vremenska konstanta $T/2$ člana $G_{sE}(s)$ promatra se kao parazitna konstanta koja se zbraja s ostalim parazitnim vremenskim konstantama $T_{\Sigma i}$ otvorenog regulacijskog kruga:

$$T_{\Sigma} = \frac{T}{2} + \sum_i T_{\Sigma i} \quad (3-22)$$

Prošireni optimum dvostrukog odnosa

- Optimum dvostrukog odnosa može se proširiti na linearne sustave opisane prijenosnom funkcijom proširenom nulama vidi (3-1):

$$G(s) = \frac{y(s)}{y_R(s)} = \frac{B(s)}{A(s)} = \frac{b_{n-1}s^{n-1} + \dots + b_2s^2 + b_1s + 1}{a_ns^n + \dots + a_2s^2 + a_1s + 1} = \frac{T_{n-1}^* T_{n-2}^* \dots T_1^* s^{n-1} + \dots + T_2^* T_1^* s^2 + T_1^* s + 1}{T_n T_{n-1} \dots T_1 s^n + \dots + T_2 T_1 s^2 + T_1 s + 1} \quad (3-23)$$

- Bez izvoda daje se skup jednažbi proširenog optimuma dvostrukog odnosa:

$$\begin{array}{cccc} T_1^2 - 2T_2T_1 & = & T_1^{*2} - 2T_2^*T_1^* & , \\ \vdots & & \vdots & \\ T_i^2 - 2T_{i+1}T_i & = & T_i^{*2} - 2T_{i+1}^*T_i^* & , \\ \vdots & & \vdots & \\ T_{n-1}^2 - 2T_nT_{n-1} & = & T_{n-1}^{*2} & . \end{array} \quad (3-24)$$

odnosno:

$$a_i^2 - 2a_{i-1}a_{i+1} = \frac{a_{i-1}^2}{b_{i-1}^2} (b_i^2 - 2b_{i-1}b_{i+1}) \quad (3-25)$$

- Zadovoljavanje jednadžbi (3-24) položaj polova prilagođava se položaju nule prijenosne funkcije (3-23) tako da sustav ima dobro prigušen odziv.
- Izjednačenjem desnih strana izraza (2-24) s nulom i zamjenom 2 s $1/D_{i+1}$ dobije opća jednadžba (3-3) standardnog oblika optimuma dvostrukog odnosa.

Modulni optimum

- ◆ Polazi od zahtjeva da amplitudno-frekvencijska karakteristika linearnog sustava proizvoljnog reda ima što širi propusni opseg bez rezonantnog izdizanja (njem. *Betragsoptimum*, engl. *Magnitude Optimum*).
- ◆ Modulni optimum poznat je još iz 1946. godine, a šire značenje dobiva u radu Keßlera iz 1955. godine.

Izvod

- ◆ Za linearne sustave opisane prijenosnom funkcijom (3-1) amplitudno-frekvencijska karakteristika

$$M(\Omega) = |G(j\Omega)| \quad (3-26)$$

zadržat će vrijednost $M(0) = 1$ u širokom opsegu frekvencija, ako vrijedi:

$$\lim_{\Omega \rightarrow 0} \frac{d^i M(\Omega)}{d\Omega^i} = 0 ; \quad i = 1, \dots, l ; \quad 1 \leq l \leq n-1 \quad (3-27)$$

- ◆ Umjesto ove pogodnije je koristiti relaciju:

$$\lim_{\Omega^2 \rightarrow 0} \frac{d^i H(\Omega^2)}{d(\Omega^2)^i} = 0 \quad (3-28)$$

gdje je:

$$H(\Omega^2) = [M(\Omega)]^2 = G(j\Omega)G(-j\Omega) = \frac{1}{1 + (a_1^2 - 2a_0a_2)\Omega^2 + (a_2^2 - 2a_1a_3 + 2a_0a_4)\Omega^4 + \dots} \quad (3-29)$$

- ◆ Konačne jednadžbe standardnog oblika modulnog optimuma dobivene iz (3-28) i (3-29) glase:

$$\begin{aligned} a_1^2 - 2a_0a_2 &= 0, \\ a_2^2 - 2a_1a_3 + 2a_0a_4 &= 0, \\ a_3^2 - 2a_2a_4 + 2a_1a_5 - 2a_0a_6 &= 0, \\ \vdots \quad \quad \quad \vdots \quad \quad \quad \vdots \quad \quad \quad \vdots \quad \quad \quad \vdots & \\ a_{n-1}^2 - 2a_{n-2}a_n &= 0. \end{aligned} \quad (3-30)$$

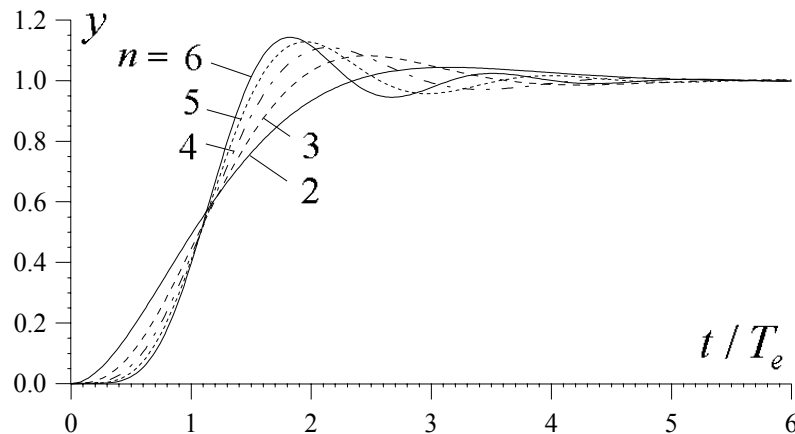
- ◆ U slučaju da je proces opisan prijenosnom funkcijom koja sadrži nule, dobiju se jednačbe **proširenog modulnog optimuma**:

$$\begin{array}{rcl}
 a_1^2 - 2a_0a_2 & = & b_1^2 - 2b_0b_2 , \\
 a_2^2 - 2a_1a_3 + 2a_0a_4 & = & b_2^2 - 2b_1b_3 + 2b_0b_4 , \\
 \vdots & & \vdots \\
 a_i^2 + 2\sum_{j=1}^i (-1)^j a_{i-j}a_{i+j} & = & b_i^2 + 2\sum_{j=1}^i (-1)^j b_{i-j}b_{i+j} \\
 \vdots & & \vdots \\
 a_{n-1}^2 - 2a_{n-2}a_n & = & b_{n-1}^2 .
 \end{array} \tag{3-31}$$

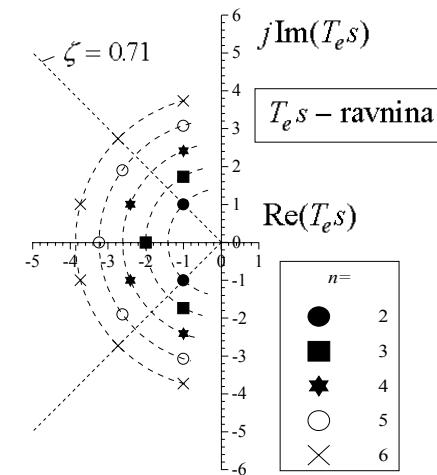
Analiza optimiranog sustava

- Prva i posljednja jednadžba standardnog oblika modulnog optimuma (3-30) ekvivalentne su odgovarajućim jednadžbama optimuma dvostrukog odnosa (3-3) i (3-12).
- Ova dva optimuma su ekvivalentna za sustave reda $n \leq 3$ (Sl. 3.2. i Sl. 3.7.).
- Za sustave reda $n > 3$ pojavljuju se dodatni članovi u izrazima (3-20) modulnog optimuma.
- Postupak optimiranja složeniji je nego u slučaju optimuma dvostrukog odnosa.

Rezultati analize sustava različitog reda n projektiranih prema modulnom optimumu



prijelazne funkcije



položaj polova

Sl. 3.7.

- Dobiveni su polovi **Butterworthovog filtera** s karakterističnom frekvencijom $\Omega_L = \sqrt[n]{1/a_n}$.
- Rastom reda sustava n dio polova primiče se sve bliže imaginarnoj osi. Posljedica je slabljenje prigušenja optimiranog sustava, što se ogleda u povećanom iznosu karakterističnih odnosa $D_i > 0,5$ (vidi sljedeću tablicu).

Odnos	Red sustava n				
	2	3	4	5	6
D_2	0,5	0,5	0,5	0,5	0,5
D_3	-	0,5	0,586	0,618	0,634
D_4	-	-	0,5	0,618	0,667
D_5	-	-	-	0,5	0,634
D_6	-	-	-	-	0,5

- Povećani iznosi karakterističnih odnosa rezultiraju nešto bržim odzivom sustava u odnosu na primjenu optimuma dvostrukog odnosa.

Optimiranje vremenski diskretnih sustava

- Kao i kod optimuma dvostrukog odnosa moguć je izravan postupak optimiranja diskretnih sustava temeljen na **diskretnom obliku modulnog optimuma**.
- Neka je linearni diskretni sustav opisan sljedećom prijenosnom funkcijom:

$$G(z) = \frac{B(z)}{A(z)} = \frac{b_m z^m + \dots + b_2 z^2 + b_1 z + b_0}{a_n z^n + \dots + a_2 z^2 + a_1 z + a_0}, \quad m < n \quad (3-32)$$

- Primjena kriterija optimiranja (3-28) daje sljedeće konačne jednažbe modulnog optimuma:

$$\begin{array}{ccccccc}
K^2(a_1^* + 2^2 a_2^* + \dots + n^2 a_n^*) & = & b_1^* + 2^2 b_2^* + \dots + m^2 b_m^* , \\
\vdots & & \vdots & & \vdots & & \vdots \\
K^2(a_1^* + 2^{2i} a_2^* + \dots + n^{2i} a_n^*) & = & b_1^* + 2^{2i} b_2^* + \dots + m^{2i} b_m^* , \\
\vdots & & \vdots & & \vdots & & \vdots \\
K^2[a_1^* + 2^{2(n-1)} a_2^* + \dots + n^{2(n-1)} a_n^*] & = & b_1^* + 2^{2(n-1)} b_2^* + \dots + m^{2(n-1)} b_m^* .
\end{array} \tag{3-33}$$

- Koeficijenti a_i^* i b_i^* , te pojaćanje sustava K povezani su s koeficijentima prijenosne funkcije (3-22) diskretnog sustava preko izraza:

$$a_i^* = \sum_{j=0}^{n-i} a_j a_{j+i} = a_0 a_1 + a_1 a_2 + \dots + a_{n-i} a_n, \quad i = 1, 2, \dots, n, \quad (3-34)$$

$$b_i^* = \sum_{j=0}^{m-i} b_j b_{j+i} = b_0 b_1 + b_1 b_2 + \dots + b_{m-i} b_m, \quad i = 1, 2, \dots, m, \quad (3-35)$$

$$K = G(1) = \frac{b_0 + b_1 + \dots + b_m}{a_0 + a_1 + \dots + a_n}. \quad (3-36)$$

Sinteza regulacijskog sustava

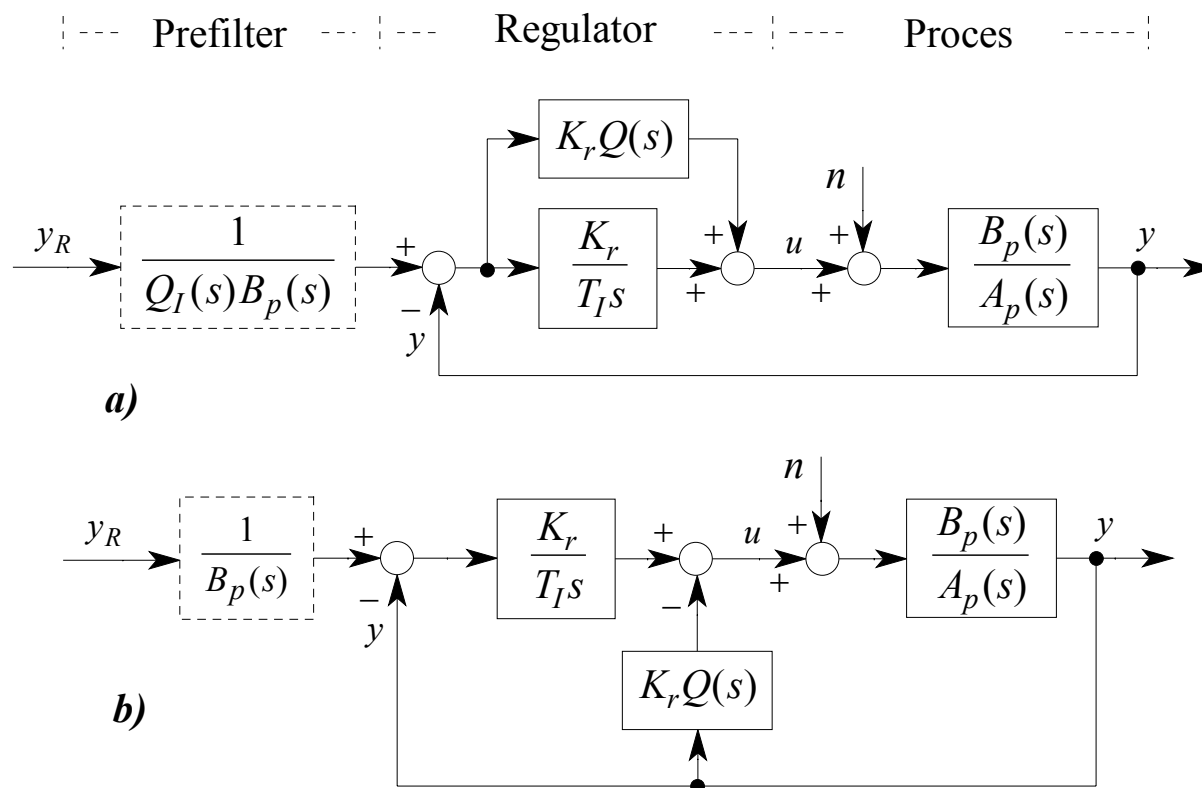
- ◆ Ovdje se uspoređuju prikazani optimumi i obrađuju neki zajednički aspekti njihove primjene, kao što su izbor strukture regulatora i s njim povezana odluka o primjeni standardnog ili proširenog oblika optimuma, te izbor vremena uzorkovanja.

Usporedba optimuma dvostrukog odnosa i modulnog optimuma

- Optimum dvostrukog odnosa i modulni optimum ekvivalentni su za sustave reda $n \leq 3$.
- U primjenama treba dati prednost optimumu dvostrukog odnosa iz sljedeća dva razloga:
 - jednostavnost postupka sinteze sustava s regulatorom reduciranog reda,
 - potpuna fleksibilnost i jednostavnost podešavanja prigušenja i vremena odziva sustava promjenom iznosa karakterističnih odnosa
 - mogućnost algebarske analize optimiranog sustava temeljene na iznosima nedominantnih karakterističnih odnosa

Usporedba standardnog i proširenog oblika optimuma

- Klasična struktura linearnog kontinuiranog regulacijskog kruga s PID_v regulatorom prikazana je blokovskom shemom na slici 3.8. a).



Sl. 3.8.

- PID_v regulator se sastoji od integralnog člana $K_r / (T_I s)$ i proporcionalno-derivacijskog (PD) člana v -tog reda predstavljenog polinomom

$$Q(s) = 1 + q_1 s + q_2 s^2 + \dots + q_v s^v \quad (3-37)$$

- PID_v regulator je ekvivalentan regulatoru stanja s pojačanjima $K_r q_i$.
- U grani referentne veličine regulacijskog kruga ugrađen je kao opcija prefilter, koji sadrži polinom $Q_I(s)$ definiran prema:

$$Q_I(s) = 1 + T_I s Q(s) \quad (3-38)$$

- Prijenosne funkcije zatvorenog regulacijskog kruga s obzirom na referentnu veličinu y_R (bez prefiltera) i poremećajnu veličinu n jesu redom:

$$G(s) = \frac{y(s)}{y_R(s)} = \frac{K_r Q_I(s) B_p(s)}{T_I s A_p(s) + K_r Q_I(s) B_p(s)} = \frac{B(s)}{A(s)} \quad (3-39)$$

$$G_n(s) = \frac{y(s)}{n(s)} = \frac{T_I s B_p(s)}{T_I s A_p(s) + K_r Q_I(s) B_p(s)} = \frac{B_n(s)}{A(s)} \quad (3-40)$$

- Uz primjenu proširenog oblika optimuma dvostrukog odnosa (3-24) ili modulnog optimuma (3-31) nule regulatora razmještaju se u blizini dominantnih polova procesa, kompenzirajući tako njihov utjecaj na usporenje odziva regulacijskog kruga s obzirom na referencu.
- U specijalnom slučaju jednakosti svih polova i nula dolazi do njihovog kraćenja u prijenosnoj funkciji (3-39) zatvorenog regulacijskog kruga s obzirom na referentnu veličinu.
- U prijenosnoj funkciji (3-40) s obzirom na poremećajnu veličinu ne pojavljuju se nule koje bi pokratile dominantne polove procesa.
- Posljedica je spor odziv regulacijskog kruga s obzirom na poremećajnu veličinu.
- Povoljan odziv regulacijskog kruga s obzirom na poremećajnu veličinu postiže se optimiranjem položaja polova prijenosnih funkcija (3-39) i (3-40), ne vodeći računa o položaju nula.
- Nepovoljan utjecaj nula prijenosne funkcije (3-39) s obzirom na referencu ogleda se u izraženom forsiranju izvršne veličine u i velikom nadvišenju regulirane veličine y .

- Da bi se to spriječilo ugrađuje se **prefilter** u granu referentne veličine čiji polovi krate nule prijenosne funkcije zatvorenog regulacijskog kruga.
- Realizacija prefiltera se pojednostavljuje, odnosno uz $B_p(s) = 1$ izbjegava, ako se primjeni **modificirana struktura regulatora** (Slika 3.8. b)) kod koje proporcionalna i derivacijska komponenta regulatora djeluje samo na signal povratne veze.
- Tako izveden regulator ne unosi nule u prijenosnoj funkciji zatvorenog regulacijskog kruga (3-39). Nedostatak primjene standardnog u odnosu na prošireni oblik optimuma je sporiji odziv regulacijskog kruga s obzirom na referentnu veličinu. No, ovaj se nedostatak otklanja ugradnjom **pretkompenzatora** u granu referentne veličine (Potpoglavlje 3.4).
- Ako su nule procesa (korijeni polinoma $B_p(s)$) nestabilne, odnosno slabo prigušene, tada je realizacija prefiltera nemoguća, odnosno problematična.
- U slučaju nepovoljnog utjecaja ovih nepokraćenih nula procesa neophodna je primjena proširenog oblika optimuma.

Izbor vremena uzorkovanja

- Vrijeme uzorkovanja bira se u skladu s parametrima matematičkog modela mehaničkog sustava (2-6).
- Frekvencija uzorkovanja $2\pi / T$ treba biti barem $N_1 = 6 - 12$ puta veća od frekvencije slabo prigušenih konjugirano-kompleksnih polova procesa:

$$T = \frac{2\pi}{N_1 \Omega_0} \quad (3-41)$$

- Uz odabir $N_1 = 2\pi$ dobije se:

$$T = \frac{1}{\Omega_0} \quad (3-42)$$

- S druge strane, vrijeme uzorkovanja bira se s obzirom na vrijeme odziva zatvorenog regulacijskog kruga, koje je određeno nadomjesnom vremenskom konstantom T_e .

- Vrijeme uzorkovanja T u tome slučaju treba biti $N_2 = 10 - 20$ puta manje od periode prigušenih oscilacija T_d zatvorenog regulacijskog kruga.
- Primjenom ovog pravila na proces (3-1) s karakterističnim polinomom (3-10) (uz aproksimaciju s prva tri člana) dobije se:

$$T = \frac{T_d}{N_2} = \frac{2\pi}{N_2\Omega_d} = \frac{4\pi D_2}{N_2\sqrt{4D_2-1}} T_e \quad (3-43)$$

- Ukoliko se uvrsti $D_2 = 0,5$ i $N_2 \approx 18$ dobije se:

$$T_e = \frac{N_2\sqrt{4D_2-1}}{4\pi D_2} T = 2\sqrt{2}T \quad (3-44)$$

- Kod primjene kvazikontinuiranog postupka sinteze općenito je potrebno manje vrijeme uzorkovanja (veći faktori N_1 i N_2).

3.4. Sinteza slijednog sustava

- Regulacijski krug proširuje se pretkompensatorom s ciljem:
 - poboljšanja dinamičkog vladanja sustava s obzirom na referentnu veličinu
 - smanjenja pogreške slijeđenja referentne veličine.
- U narednom se izlaganju razvijaju postupci sinteze pretkompenzatora punog i reduciranog reda za regulacijski krug proizvoljnog reda optimiran prema optimumu dvostrukog odnosa.
- Također se provodi analiza utjecaja nula prijenosne funkcije diskretnog zatvorenog sustava.

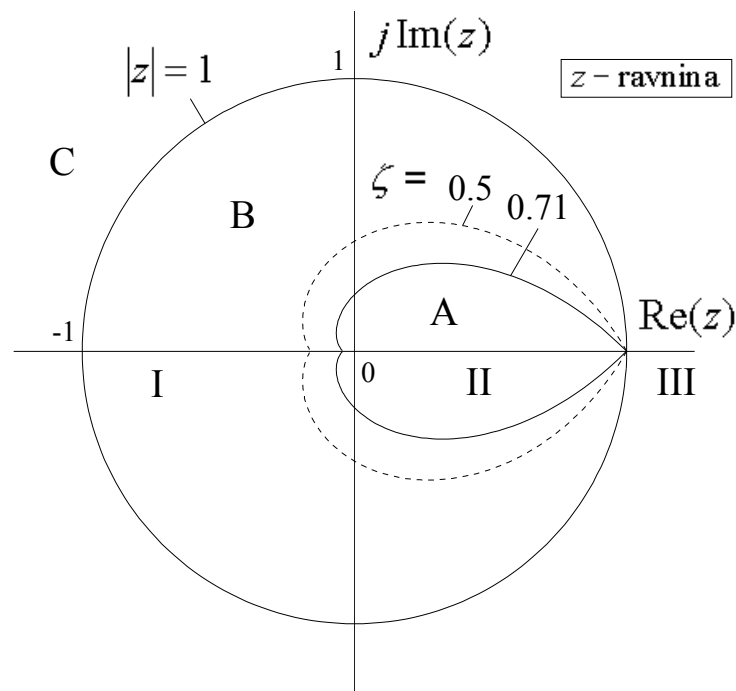
Nule vremenski-diskretnog sustava

- n polova s_i , $i = 1, \dots, n$, racionalne prijenosne funkcije vremenski kontinuiranog sustava n -tog reda preslikava se diskretizacijom sustava u n diskretnih polova z_i relacijom:

$$z_i = e^{Ts_i}$$

(3-45)

- Odziv diskretnog sustava je stabilan ako se svi polovi z_i nalaze unutar jedinične kružnice prikazane na slici 3.10.



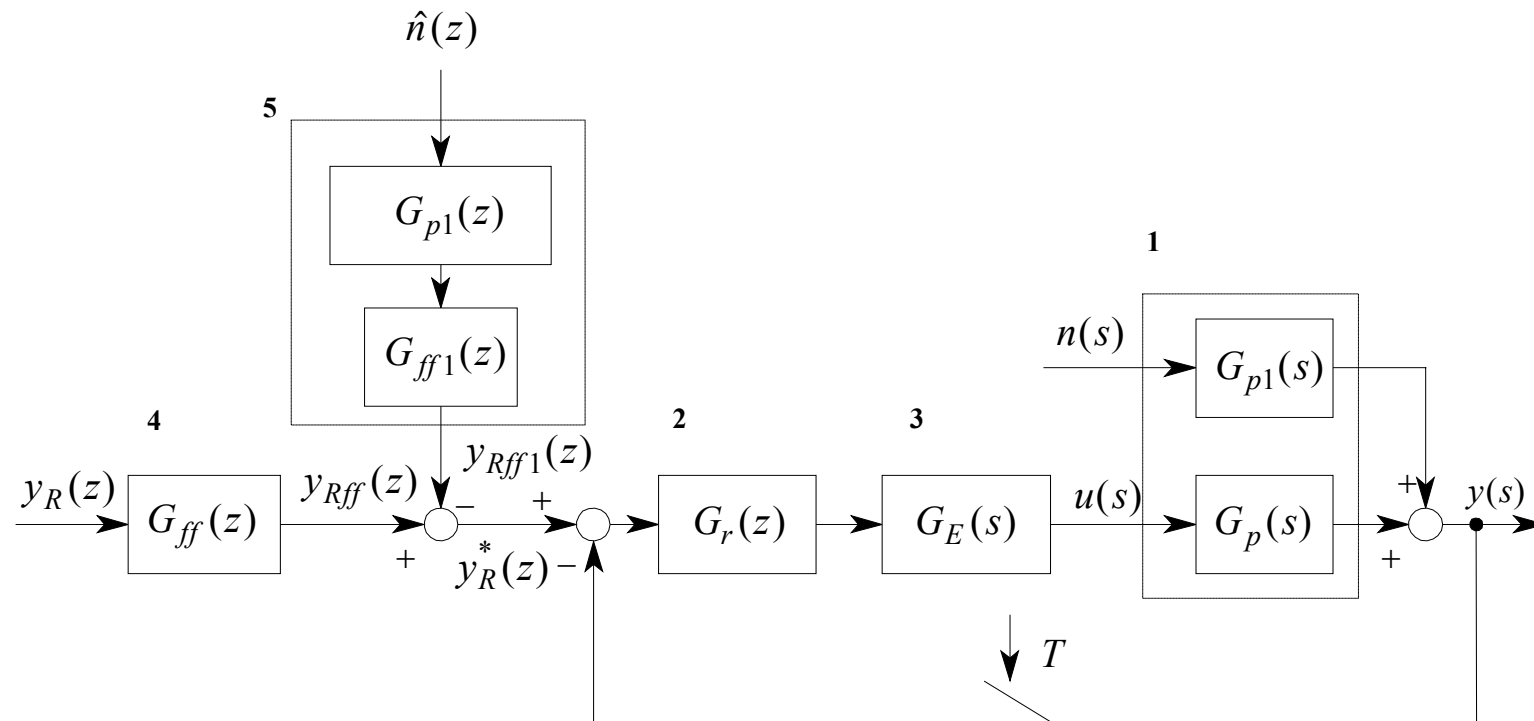
Sl. 3.10.

- Odziv je, k tome, dobro prigušen ako polovi leže u području prigušenja $\zeta > \zeta_{\min} = 0,7 \dots 0,5$ (područje A na slici).
- Slabo prigušeni polovi (područje B) razmještaju se u lijevoj poluravnini kada je vrijeme uzorkovanja T relativno veliko.

- Ovi polovi izazivaju naglašene oscilacije odziva koje se izmjenjuju u svakom intervalu uzorkovanja (učinak "zvonjave", engl. *ringing effect*).
- Ukupno m nula racionalne prijenosne funkcije vremenski kontinuiranog sustava n -tog reda preslikava se diskretizacijom sustava u ukupno $n - 1$ diskretnih nula.
- Od toga je m **izvornih nula**, dok preostalih $n - m - 1$ nula jesu **dodatne nule** nastale procesom uzorkovanja.
- Dodatne se nule razmještaju u lijevoj z -poluravnini (obično na negativnom dijelu realne osi) , te po formalnoj analogiji s diskretnim polovima spadaju u slabo prigušene ili nestabilne nule.
- Za mala vremena uzorkovanja T dodatne su nule približno jednake nulama prijenosne funkcije dobivene diskretizacijom člana $1 / s^{n-m}$.
- Slabo prigušene ili nestabilne diskretne nule, među koje su uključene praktički sve dodatne nule, ne smiju se kratiti polovima regulatora, prefiltera ili pretkompenzatora.

Struktura slijednog sustava

- Struktura slijednog sustava prikazana je blokovskom shemom na slici.



Sl. 3.11.

- Sustav se sastoji od **regulacijskog kruga** danog u digitalnoj izvedbi i linearnog digitalnog **prekompensatora** $G_{ff}(z)$ (engl. *feedforward controller*) smještenog u grani referentne veličine.

- Zadatak je pretkompenzatora:
 - ubrzanje odziva regulacijskog kruga s obzirom na referentnu veličinu y_R ,
 - smanjenje pogreške slijeđenja referentne veličine.
- Dodatno se može ugraditi i pretkompenzator $G_{ff1}(z)$ s ciljem efikasne kompenzacije utjecaja poremećajne veličine n .
- Preduvjeti za to su mogućnost mjerenja ili estimacije poremećajne veličine n i poznavanje prijenosne funkcije procesa $G_{p1}(s)$ s obzirom na poremećajnu veličinu.
- Postupak sinteze oba pretkompenzatora je jednak.
- Sinteza slijednog sustava provodi se u dva temeljna koraka:
 - sinteza regulacijskog kruga
 - sinteza pretkompenzatora.
- Sa stanovišta jednostavnosti postupka optimiranja regulacijskog kruga i kvalitete vladanja s obzirom na poremećajnu veličinu pogodno je odrediti parametre regulatora primjenom **standardnog oblika optimuma dvostrukog odnosa** (potpoglavlje 3.3).

- Prijenosna funkcija optimiranog zatvorenog regulacijskog kruga glasi:

$$G_{cl}(z) = \frac{y(z)}{y_R^*(z)} = \frac{B_{cl}(z)}{A(z)} = \frac{B_{cl}^+(z)B_{cl}^-(z)}{A(z)} \quad (3-46)$$

- Polinom $A(z)$ zadovoljava optimum dvostrukog odnosa.
- Nule prijenosne funkcije razvrstane su u dvije skupine:
 - nestabilne ili slabo prigušene nule (polinom $B_{cl}^-(z)$),
 - dobro prigušene nule uključene u polinom $B_{cl}^+(z)$.
- Kraćenje dobro prigušenih nula zatvorenog regulacijskog kruga i uvođenje novih, kompenzacijskih nula (preko polinoma $B(z)$) postiže se pretkompenzatorom s prijenosnom funkcijom:

$$G_{ff}(z) = \frac{y_{Rff}(z)}{y_R(z)} = \frac{A_F(1)}{B_{cl}^-(1)} \frac{B(z)}{A_F(z)B_{cl}^+(z)} \quad (3-47)$$

- Kraćenjem dobro prigušenih nula regulacijskog kruga pretkompensator preuzima i ulogu prefiltera.
- Kompenzacijske nule kompenziraju utjecaj polova regulacijskog kruga sadržanih u polinomu $A(z)$, čime se ubrzava odziv slijednog sustava s obzirom na referentnu veličinu, odnosno smanjuje pogreška slijeđenja referentne trajektorije.
- U primjenama kod kojih referentna trajektorija nije unaprijed poznata (npr. vojne primjene) pretkompensator (3-47) mora biti kauzalan.
- Radi toga je u prijenosnu funkciju pretkompensatora (3-47) uključen polinom $A_F(z)$ reda:

$$n_F = \deg A_F = \deg B - \deg B_{cl}^+ \quad (3-48)$$

- *Dead-beat* polinom $A_F(z) = z^{n_F}$ daje najjednostavniju realizaciju i neizmjenjen oblik odziva slijednog sustava s minimalnim unijetim kašnjenjem iznosa $n_F T$.
- Nedostatak *dead-beat* polinoma $A_F(z)$:
 - vrlo izraženo forsiranje izlaznog signala pretkompensatora y_{Rff} i izvršnog signala u ,

- velika osjetljivost slijednog sustava na šum u referentnom signalu y_R .
- Ovi nedostaci dolaze više do izražaja uz manje vrijeme uzorkovanja T .
- Uz relativno mala vremena uzorkovanja koristi se modificirani *dead-beat* polinom s jednim polom van ishodišta:

$$A_F(z) = z^{n_F-1} (z - e^{-T/T_F}) = z^{n_F-1} (z - z_F) \quad (3-49)$$

- Ako se zahtijeva jače filtrirajuće djelovanje polinoma $A_F(z)$ povoljno je svih n_F polova postaviti van ishodišta na iznose koje daje npr. Butterworthov filter.
- U primjenama kod kojih je referentna veličina unaprijed poznata (npr. roboti ili alatni strojevi) može se polinom $A_F(z)$ isključiti iz prijenosne funkcije prekompenzatora.
- Prijenosna funkcija slijednog sustava (prema (3-46) i (3-47)) glasi:

$$G(z) = \frac{y(z)}{y_R(z)} = G_{ff}(z)G_{cl}(z) = \frac{A_F(1) B_{cl}^-(z) B(z)}{B_{cl}^-(1) A_F(z) A(z)} \quad (3-50)$$

- Uvjet stacionarne točnosti sustava (3-50) je:

$$B(1) = A(1) \quad (3-51)$$

Pretkompenzator punog reda

- Optimalni pretkompenzator punog reda određen je trivijalnim izborom parametara:

$$\boxed{B(z) = A(z)} \quad (3-52)$$

- Nulama pretkompenzatora punog reda krata se svi polovi zatvorenog regulacijskog kruga (3-46)
- Tako se u potpunosti kompenzira utjecaj polova na usporenje odziva slijednog sustava.
- Izborom *dead-beat* polinoma $A_F(z)$, ukupna prijenosna funkcija sustava (3-50) prelazi u

$$\boxed{G(z) = G_{ff}(z)G_{cl}(z) = \frac{A_F(1) B^-(z)}{B^-(1) A_F(z)} = \frac{1}{B_{cl}^-(1)} \frac{B_{cl}^-(z)}{z^{n_F}}} \quad (3-53)$$

- Tako projektirani sustav ima **vremenski optimalno (*dead-beat*) vladanje**:
 - aperiodski oblik prijelazne funkcije,
 - konačno vrijeme smirivanja u n_F koraka uzorkovanja.

Pretkompenzator reduciranog reda - sinteza u kontinuiranom području

Postupak:

- Prvo se određuje nadomjesna kontinuirana prijenosna funkcija diskretnog zatvorenog regulacijskog kruga.
- Nakon toga se optimirani kontinuirani pretkompenzator prevodi u diskretni oblik.

a) Nadomjesni kontinuirani slijedni sustav

- Karakteristični polinom $A(z)$ zatvorenog regulacijskog kruga s prijenosnom funkcijom n -tog reda transformira se u kontinuirani oblik prema izrazu:

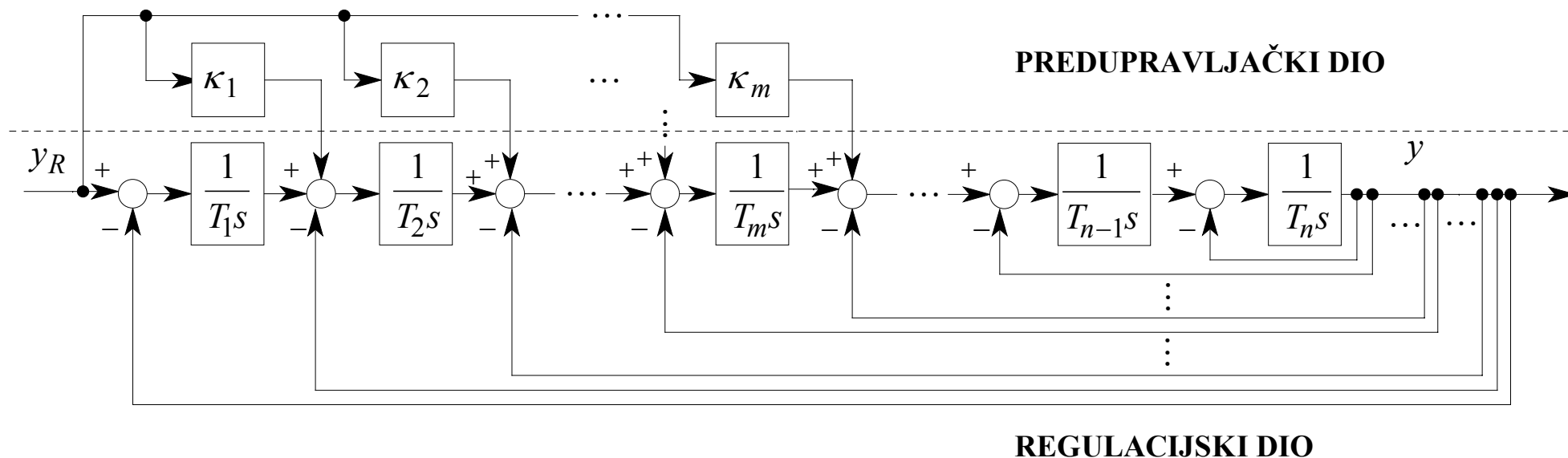
$$A_c(s) = \frac{\prod_{i=1}^n (s - s_i)}{\prod_{i=1}^n s_i} = \frac{(s - s_1)(s - s_2) \cdots (s - s_n)}{|s_1 s_2 \cdots s_n|}, \quad s_i = \frac{1}{T} \ln z_i < 0, \quad A(z_i) = 0 \rightarrow z_i \quad (3-54)$$

- Ovaj se korak sinteze izostavlja ako je prethodna sinteza regulacijskog kruga provedena primjenom kvazikontinuiranog postupka.

- Kompenzacijski polinom $B(z)$ diskretnog pretkompenzatora (3-47) reduciranog reda $m < n$ nadomješta se kontinuiranim kompenzacijskim polinomom $B_c(s)$.
- Ukupna prijenosna funkcija diskretnog slijednog sustava (3-50) nadomješta se kontinuiranom prijenosnom funkcijom:

$$G_c(s) = \frac{B_c(s)}{A_c(s)} = \frac{b_m s^m + \dots + b_2 s^2 + b_1 s + 1}{a_n s^n + \dots + a_2 s^2 + a_1 s + 1} = \frac{b_m s^m + \dots + b_2 s^2 + b_1 s + 1}{D_n D_{n-1}^2 \dots D_2^{n-1} T_e^n s^n + \dots + D_2 T_e^2 s^2 + T_e s + 1} \quad (3-55)$$

- Nadomjesna blokovska shema sustav regulacije s pretkompenzatorom reduciranog reda:



Sl. 3.12.

- Struktura slijednog sustava s danom prijenosnom funkcijom, dobije se proširenjem kaskadne strukture regulacijskog kruga (Sl. 3.1.) s predupravljačkim granama s pojačanjima:

$$\boxed{\kappa_i = \frac{b_i}{a_i}, \quad i = 1, \dots, m} \quad (3-56)$$

- Preko predupravljačkih grana pojačani referentni signal y_R prenosi se prema podređenim krugovima kaskadne strukture sustava. Tako se preskaču sporiji nadređeni krugovi i ubrzava odziv sustava s obzirom na referentnu veličinu.

b) Optimiranje pretkompenzatora

- Optimalni iznosi koeficijenata kompenzacijskog polinoma $B_c(s)$ u (3-55) određuju se rješanjem sustava nelinearnih algebarskih jednadžbi proširenog oblika modulnog optimuma. (3-31)
- Traženo je rješenje jednoznačno određeno zahtjevom da $B_c(s)$ bude *Hurwitzov* polinom, (nule pretkompenzatora leže u lijevoj polovini s -ravnine)
- Analitičko rješenje postoji samo za pretkompenzatore reda $m \leq 2$:

$m = 1:$

$$\boxed{b_1 = T_e \sqrt{1 - 2D_2}} \quad (3-57)$$

$m = 2:$

$$\boxed{b_1 = T_e \sqrt{1 - 2D_2 \left(1 - \sqrt{1 - 2D_3 + 2D_4 D_3^2 D_2}\right)}} \quad (3-58)$$

$$\boxed{b_2 = T_e^2 D_2 \sqrt{1 - 2D_3 + 2D_4 D_3^2 D_2}} \quad (3-59)$$

te za najviši koeficijent pretkompensatora reda $m=n-1$:

$$b_{n-1} = T_e^{n-1} D_{n-1} D_{n-2}^2 \cdots D_2^{n-2} \sqrt{1 - 2D_n} \quad (3-60)$$

- Za pretkompensator reda $m > 2$ dobiju se relativno složena implicitna rješenja, te se predlaže numerički postupak rješavanja sustava.
- Optimiranjem pretkompensatora za regulacijski sustav s regulatorom punog reda podešenog prema optimumu dvostrukog odnosa (3-12) dobiju se iznosi predupravljačkih pojačanja K_1, \dots, K_m dani u narednoj tablici

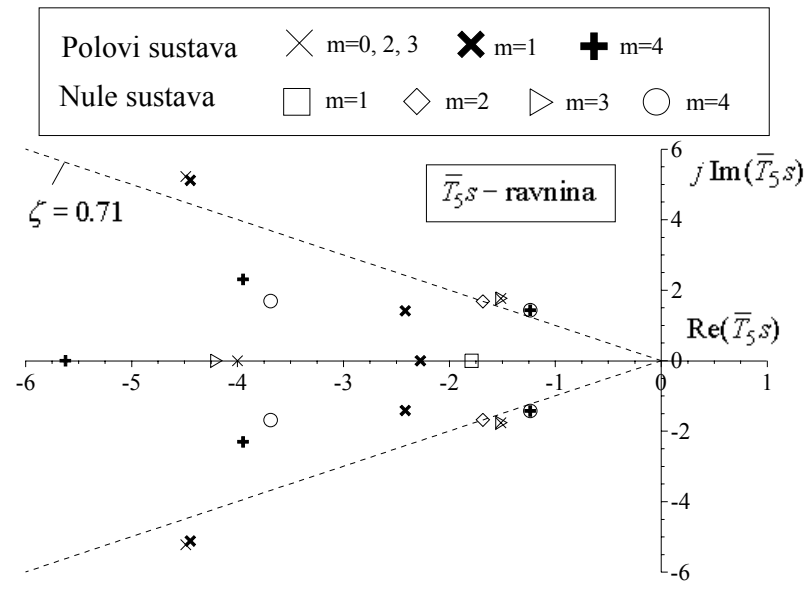
***Tablica** Optimalni iznosi predupravljačkih pojačanja $\kappa_1, \dots, \kappa_m$ kontinuiranog pretkompenzatora različitog reda m za slijedne sustave različitog reda $n = 2, \dots, 6$.*

n	m	κ_1	κ_2	κ_3	κ_4	κ_5
$n \geq 2$	1	0,447	-	-	-	-
3	2	0,669	0,447	-	-	-
$n \geq 4$	2	0,595	0,354	-	-	-
4	3	0,828	0,686	0,447	-	-
5	3	0,799	0,638	0,354	-	-
5	4	0,914	0,836	0,688	0,447	-
6	3	0,796	0,634	0,348	-	-
6	4	0,900	0,809	0,638	0,354	-
6	5	0,957	0,916	0,836	0,688	0,447

- Raspored polova i nula i prijenosne funkcije optimiranog sustava 5. reda prikazani su na slici 3.14. (vrijeme t i Laplaceov operator s normirani su s obzirom na vremensku konstantu $\bar{T}_n = T_n / 0,5^{n-1}$ ($n = 5$))

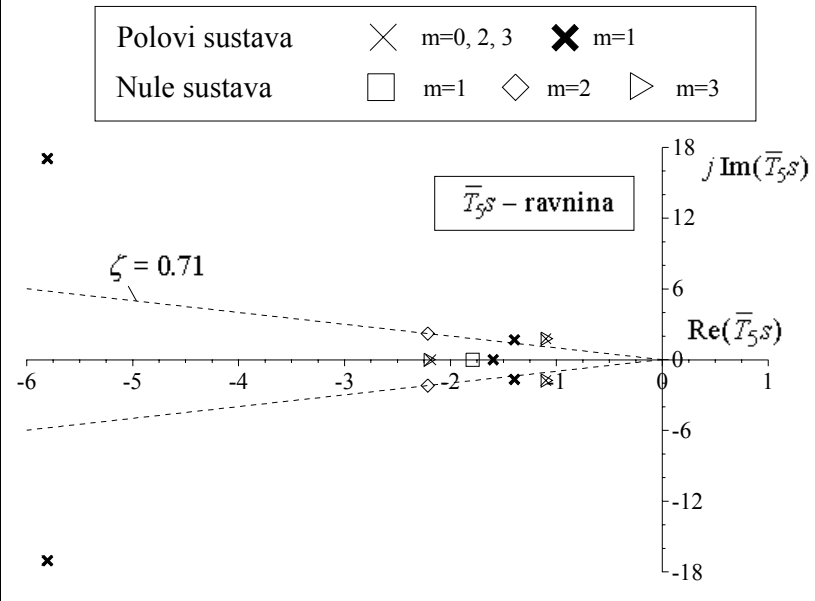
Kompenzator reda m

Regulator punog reda

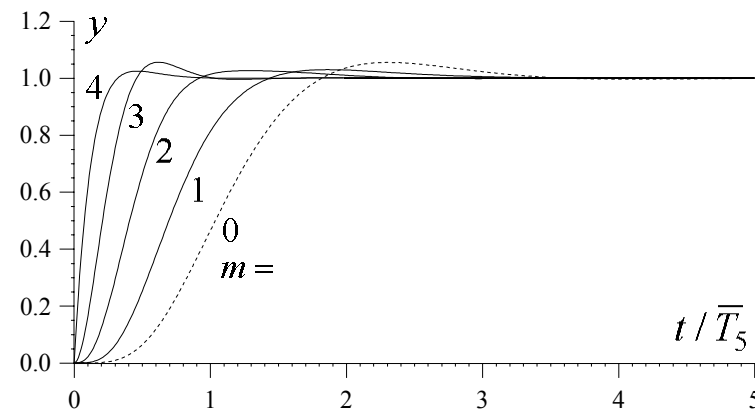


a1)

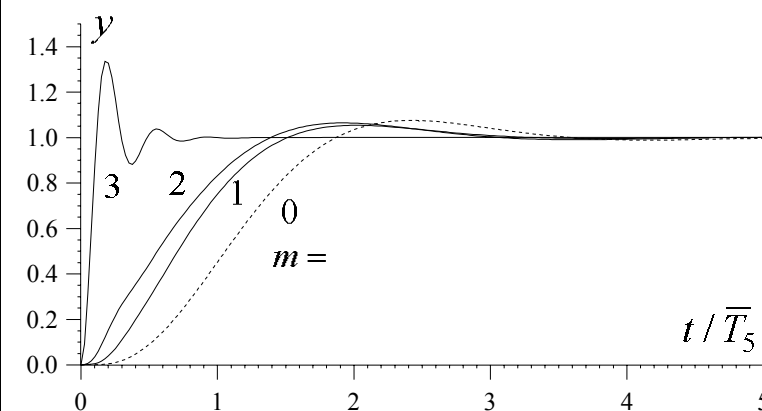
Regulator reduciranog reda



a2)



b1)



b2)

- Nule pretkompensatora razmještaju se u blizini dominantnih polova zatvorenog regulacijskog kruga.
- Kompenzacijom utjecaja dominantnih polova smanjuje se vrijeme porasta prijelazne funkcije slijednog sustava i to približno za dvostruko sa svakim povećanjem reda pretkompensatora.
- Pritom se zadržava povoljan kvaziaperiodski oblik prijelazne funkcije s nadvišenjem ne većim od 6%.

c) Realizacija pretkompensatora

Pretkompenzator reduciranog reda - sinteza u diskretnom području

- Prijenosna funkcija slijednog sustava (3-50) uz zanemarenje utjecaja nedominantnog člana poprima sljedeći oblik:

$$G(z) = G_{cl}(z)G_{ff}(z) / G_x(z) = \frac{B(z)}{A(z)} = \frac{b_m z^m + b_{m-1} z^{m-1} + \dots + b_1 z + b_0}{a_n z^n + a_{n-1} z^{n-1} + \dots + a_1 z + a_0} \quad (3-61)$$

gdje je $G_x(z) = \frac{A_F(1)B_{cl}^-(z)}{B_{cl}^-(1)A_F(z)}$ (prema 3-50)

- Primjena uvjeta točnosti sustava u stacionarnom stanju ($B(1) = A(1)$) (3-51)

$$b_0 + b_1 + \dots + b_{m-1} + b_m = a_0 + a_1 + \dots + a_{n-1} + a_n = a_\Sigma \quad (3-62)$$

- Optimalni iznosi koeficijenata kompenzacijskog polinoma $B(z)$ određuju se primjenom jednadžbi diskretnog oblika modulnog optimuma.
- Ove jednadžbe tvore sustav algebarskih jednadžbi po traženim koeficijentima kompenzacijskog polinoma $B(z)$:

$$\begin{bmatrix} 0 & b_0 & b_1 & \dots & b_{m-2} & b_{m-1} \\ 0 & 0 & b_0 & \dots & b_{m-3} & b_{m-2} \\ 0 & 0 & 0 & \dots & b_{m-4} & b_{m-3} \\ \vdots & \vdots & \vdots & \ddots & \vdots & \vdots \\ 0 & 0 & 0 & \dots & 0 & b_0 \\ 1 & 1 & 1 & \dots & 1 & 1 \end{bmatrix} \begin{bmatrix} b_0 \\ b_1 \\ b_2 \\ \vdots \\ b_{m-1} \\ b_m \end{bmatrix} = \begin{bmatrix} b_1^* \\ b_2^* \\ b_3^* \\ \vdots \\ b_m^* \\ a_\Sigma \end{bmatrix} \quad (3-63)$$

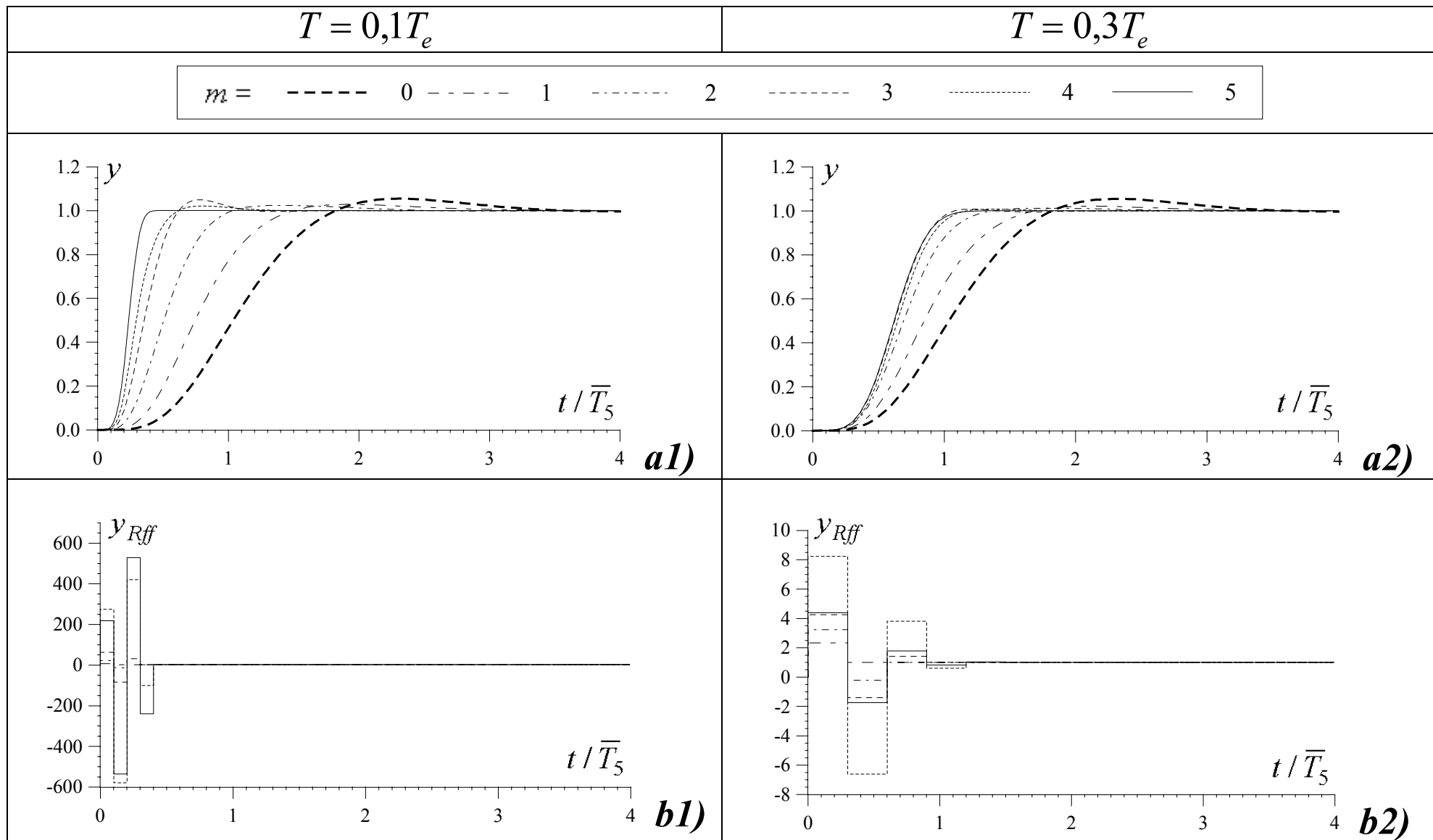
gdje je:

$$\begin{bmatrix} b_1^* \\ b_2^* \\ \vdots \\ b_m^* \end{bmatrix} = \begin{bmatrix} 1^2 & 2^2 & \dots & m^2 \\ 1^4 & 2^4 & \dots & m^4 \\ \vdots & \vdots & \ddots & \vdots \\ 1^{2m} & 2^{2m} & \dots & m^{2m} \end{bmatrix}^{-1} \begin{bmatrix} 1^2 & 2^2 & \dots & n^2 \\ 1^4 & 2^4 & \dots & n^4 \\ \vdots & \vdots & \ddots & \vdots \\ 1^{2m} & 2^{2m} & \dots & n^{2m} \end{bmatrix} \cdot \begin{bmatrix} 0 & a_0 & a_1 & \dots & a_{n-1} \\ 0 & 0 & a_0 & \dots & a_{n-2} \\ \vdots & \vdots & \vdots & \ddots & \vdots \\ 0 & 0 & 0 & \dots & a_0 \end{bmatrix} \begin{bmatrix} a_0 \\ a_1 \\ \vdots \\ a_n \end{bmatrix} \quad (3-64)$$

- Analitičko rješenje ovog sustava postoji samo za pretkompensatore 1. ili 2. reda:

$$\begin{aligned}
 m = 1: \quad & b_{0,1} = \frac{a_{\Sigma} \mp \sqrt{a_{\Sigma}^2 - 4b_1^*}}{2} ; \\
 m = 2: \quad & b_1 = \frac{a_{\Sigma} - \sqrt{a_{\Sigma}^2 - 4b_1^*}}{2} , \\
 & b_2 = \frac{a_{\Sigma} - b_1 + \sqrt{(a_{\Sigma} - b_1)^2 - 4b_2^*}}{2} , \\
 & b_0 = a_{\Sigma} - b_1 - b_2 .
 \end{aligned} \tag{3-65}$$

- Optimalni parametri pretkompenzatora reda $m > 2$ računaju se numeričkim postupkom, npr. kao funkcija u MATLAB-u.
- Prijelazne funkcije optimiranog slijednog sustava 5. reda prikazane su na slici 3.15 za različiti red pretkompenzatora m i dva različita vremena uzorkovanja T .



Sl. 3.15.

- Prijelazna funkcija sustava s pretkompenzatorom punog reda ima vremenski optimalan aperiodski oblik s konačnim vremenom smirivanja u n koraka uzorkovanja.
- Prijelazne funkcije sustava s pretkompenzatorom reduciranog reda $m < n$ omeđene su prijelaznim funkcijama vremenski optimalnog i nekompenziranog sustava.
- Povećanjem vremena uzorkovanja proporcionalno raste vrijeme odziva vremenski optimalnog sustava.

Primjer: Osjetljivost slijednog sustava na pogreške modeliranja zatvorenog regulacijskog kruga.